

## II-216 混合砂礫を用いた勾配1/40移動床水路における河床形態と流砂量について

水資源開発公団試験研究所 正会員 森 高信  
 北海道大学大学院工学研究科 学生員 藤田 豊彦  
 北海道大学大学院工学研究科 正会員 長谷川和義  
 水資源開発公団試験研究所 正会員 竜澤 宏昌  
 水資源開発公団試験研究所 正会員 林 日出喜

## はじめに

従来からダムの貯水池内への流入土砂が問題となっているが、最近、ダム貯水池の上流端付近に流入土砂の調節を目的とした貯砂ダムが設けられるようになってきた。この貯砂ダムは、完全に土砂を止めるクローズド型が一般的となっている。しかし、著者らは、周辺環境への影響や堆積土砂の有効利用等の観点から、オープン型の貯砂ダムの可能性を検討している。その中で、貯砂ダムが立地する付近の河道を対象にその河床形態や流砂量等の把握を目的とした移動床実験を行った。本論では、この実験から得られた二、三の知見を報告する。

## 1. 実験方法 建設または調査段階にある

12ダムを対象に貯水池上流端付近の河床勾配を調査した。その結果、2,3のダムを除いて、概ね1/50～1/30の勾配であることがわかった。そこで、勾配1/40(幅60cm、長さ20m)の片面アクリルの木製水路を用い、表-1に示す条件下での実験を行った。まず、図-1に示す2

種類の粒度分布の砂礫(最大粒径15mm)をよく混合して水路底より30cmの高さにまで敷詰め、無給砂の条件で通水を行い、水路の下流端で流砂量を測定するとともに、河床変動の様子を観察した。また通水後には、河床高の計測と、河床表層数cmの砂礫をいくつか採取しそれらの粒度分布を調べた。

2. 実験結果と考察 通水中には、水路の左右交互に砂州(砂礫堆)が発達するケースと、全く発生せず2次元的な流れのまま河床表層の分級が進むケースが観察された。図-2(a)は、砂礫堆の発達が認められたCaseC-2において計測された初期河床を基準とする通水後の河床高である。また図-2(b)は、同じく、砂礫堆の発達が認められなかったCaseB-2の結果である。両ケースは、いずれも、黒木・岸の中規模河床形態の実用的領域区分図<sup>1)</sup>に示される単列砂州発生領域内( $7 < BI^{0.2}/h \leq 30$ )にあり、後述の式(1)に示す流れの抵抗則に従うものとすれば、両ケースの $BI^{0.2}/h$ 値はほぼ等しい。フルード数は異なるものの、砂礫材料の違いにより、このような全く異なった現象が観察されたことは興味深い。なお、この原因としては、以下に見るようにCaseB-2の分級が30分程度で終了し、粗粒化が起こって流砂量が急激に減少したためと推察される。図-3は、砂礫堆が認められたCaseC-2で、通水後の河床において採取した砂礫の粒度分布を示したものである。図-3によると、砂礫堆部の粒度分布はいずれも片対数紙上でほぼ直線的な分布形であり、初期分布とあまり変わらない。この傾向は、竜澤ら<sup>2)</sup>が行った移動床実験と同様の結果である。次に、山地河川における流れの抵抗則として、式(1)に示すHey式の適合性がよいことが指摘されている。

ここに、R:径深、a:11.16(矩形)～13.46である。図-4は、通水直後に計測した水深の最大値と最小値を用いて、 $h/d_{84}$ およびf値との関係で式(1)と比較照合したものである。これによると、Hey式の適合性がよいことがわかる。

図-5は流砂量の経時変化であり、図-6は通水中の流出土砂の粒度分布である。図-6より、砂礫堆が発生したCaseC-2では、通水開始から終了まで流出土砂の粒度分布はほぼ元河床の粒度分布に等しく、砂礫堆が見られなかったCaseB-2では、時間の経過とともに元河床の粒度よりも細かい礫が多く流出している。CaseB-2と同じような傾向が見られたのは複列の砂礫堆が形成されたCaseC-1とCaseB-1であった。図-7および図-8は、それぞれ芦田・道上の流砂量式と、通水直後の流出土砂の粒度分布および流砂量との比較を行ったものである。図-7および図-8より、粒径別粒砂量の重量比は必ずしも芦田・道上の式に合致する結果ではなかったが、全流砂量については、ほぼ合致することがわかった。

キーワード：貯砂ダム、混合砂礫、河床変動、流砂量、移動床実験

連絡先：水資源開発公団試験研究所(〒338-0812浦和市大字神田936番地TEL048-853-1785,FAX048-855-8099)

表-1 実験条件

Case No.	流量 (cm <sup>3</sup> /s)	河床勾配	通水時間 (分)	砂礫径(cm)		
				d <sub>50</sub>	d <sub>10</sub>	d <sub>84</sub>
C砂礫	CaseC-1: 1500	1/40	120	0.091	0.221	0.414
	CaseC-2: 4980		60			
	CaseC-3: 14900		70			
B砂礫	CaseB-1: 1130		100	0.094	0.300	0.747
	CaseB-2: 3870		60			
	CaseB-3: 12140		30			

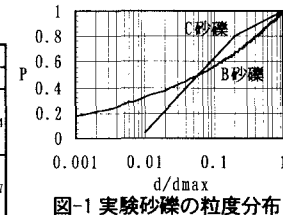


図-1 実験砂礫の粒度分布

$$\frac{U}{U_*} = 5.75 \log \left( \frac{aR}{3.5d_{84}} \right) \quad (1)$$

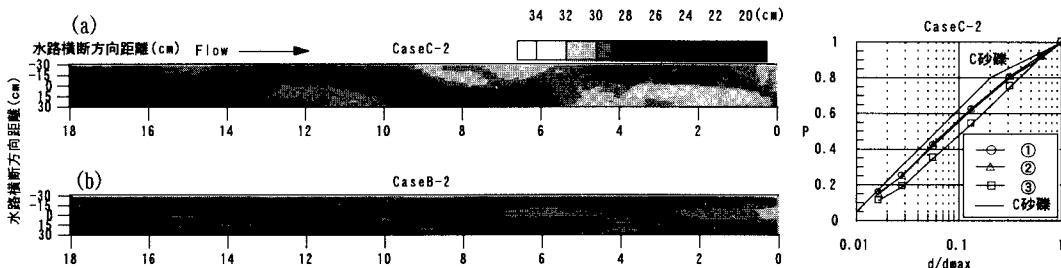


図-3 通水後の砂礫堆の粒度分布

図-2 通水後の河床高(平均勾配差引)

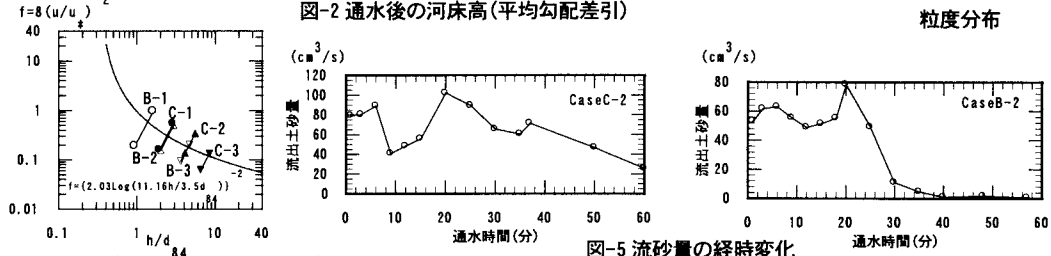


図-4 通水直後におけるHey式の適合性

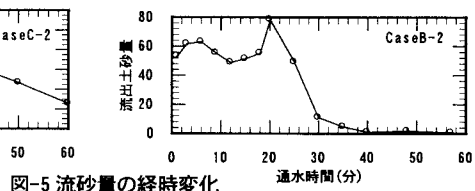


図-5 流砂量の経時変化

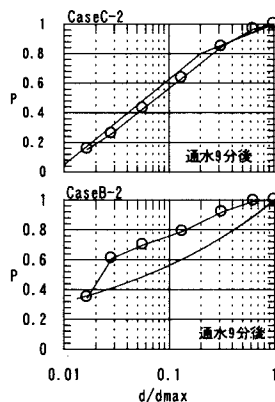


図-6 通水中における流出土砂の粒度分布

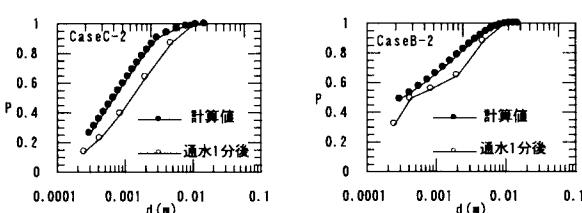


図-7 粒径別粒砂量の重量比

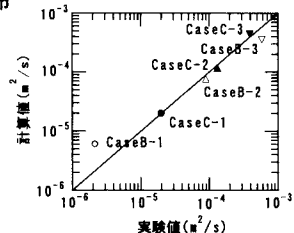


図-8 流砂量の適合性

### おわりに

今後も、貯砂ダム設計に資するため、より詳細な河道データの収集に努めるつもりである。

### 参考文献

- 1) 黒木, 岸 : 中規模河床形態の領域区分に関する理論的研究, 土木学会論文集報告集, No. 342, 1984.
- 2) 竜澤, 林, 森, 長谷川, 藤田 : 広水理条件下における小規模河床波(礫列・礫段)の形成と形状特性, 水工学論文集, 第43卷, pp. 731-736, 1999.